

九州工業大学 正員 渡辺 明
 同 正員 出光 隆
 同 学生員 ○松本 進

1. はじめに

土木、建築工事量の増大に伴い基礎工法の進展には著しいものがあるが、「すかんずくクイ基礎工法」の進展には著しいものがある。しかしながら、クイに関してはその支持力機構をはじめとして打込時のヒビワレの問題、その後のネガチブフリクションによるオーバーロードの問題など不確定要素が多く、今後の解明が待たれている。本文では、その中で特にクイ打ち時、条件によってはクイ内に引張力が生じ、コンクリートグリーンにヒビワレを生じる問題をとりあげる。本実験では、塩化ビニール製の簡単な模型パイレを作成し、それに引張力が生じる様に計画し、その歪波形をシンクロスコープで観測し、実験および理論の両面からパイレ中に生じる歪波形をしらべようとするものである。以下、その実験内容、結果、理論および若干の考察を述べる。

2. 実験材料、実験器具および実験装置

(1) 実験材料

弾性係数	表-1 塩化ビニールパイプの物理的性質		
	外径	内径	密度
$3.35 \times 10^4 \text{ N/cm}^2$	2.6 cm	2.0 cm	1.03 g/cm ³
			$1.79 \times 10^5 \text{ cm/sec}$

実験に使用した模型パイレは市販されている塩化ビニールパイプを使用し、その形状、寸法を図-1に、物理的性質を表-1に示す。また、実験に使用したクッション

表-2 ゴムフレート・ゴムホースの物理的性質

ゴムフレート		ゴムホース	
径	厚さ	バネ定数	内径
2.7 cm	0.5 cm	$2.58 \times 10^4 \text{ N/cm}$	2.6 cm
			3.1 cm
			66 N/cm

クッションは市販のゴムフレートを、サイドフリクション用の材料としては同様にゴムホースを使用した。それらの物理的性質を表-2に示す。ゲージは測定の精度を上げるために新興通信製の1.5 mmノカルゲージを使用し、中割れにした模型パイレの内側に貼布した。ゲージ貼布位置を図-1に示す。

(2) 実験器具

1) ブリッジボックス

この実験では2種類のブリッジボックスが使用され、一方は、ゲージのバランス用に、他方は、シンクロスコープの同期を遅らせるためにフォトトランジスターを使用した回路のバランス用である。その各々の回路図を図-2に示す。

2) 直流安定化装置

図-2の(b)の電源としては、中央電子K.K.製の505 U安定化直流電源を利用した。

3) 直流増幅器

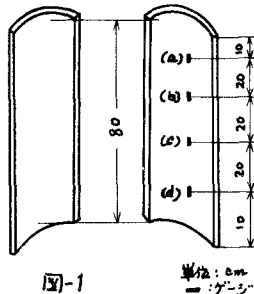


図-1

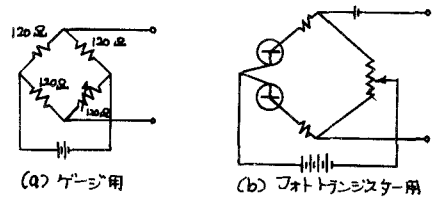


図-2

表-3. 直流増幅器の特性

入カインピーダンス	1 MΩ
周波数帯域	$DC \pm 500\text{kc} (\pm 0.5\%)$
利得	60 dB

測定回路に生じる電圧変化は非常に小さいので、桑野電機製 AZ-908 PREAMPLIFIER を利用した。その主な特性を表-3 に示す。

4) シンクロスコープ

本実験では、岩崎通信製の SS-5004 型シンクロスコープを利用した。

(3) 実験装置

図-3 に示す装置はラムを垂直に落とし、模型パイアルを垂直に設置するもので、滑組はチャンネル、アングルおよび鉄筋から成り、溶接で止められている。

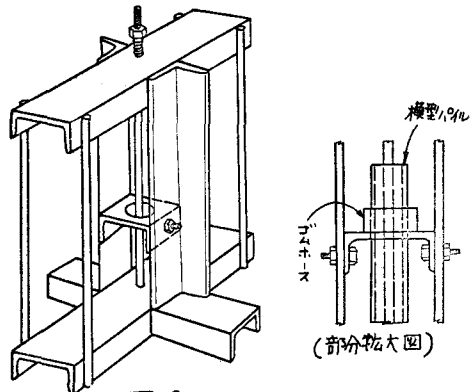


図-3

3. 実験方法および解析方法

(1) 実験方法

各器具、装置間の関係を図-4 に示す。まず、重量 a_1 kg のラムを任意の高さから、先端が自由な模型パイアルの上に落とし、光源からの光を遮断する。衝突寸前にトリガーパルスがフォトトランジスター回路に生じ、シンクロスコープを作動させる。衝突後、ハイーストンブリッジに生じる電圧変化は非常に小さいので直流増幅器により 1000 倍に増幅される。そこで、歪波形がシンクロスコープ管面上で観測され、写真撮影される。

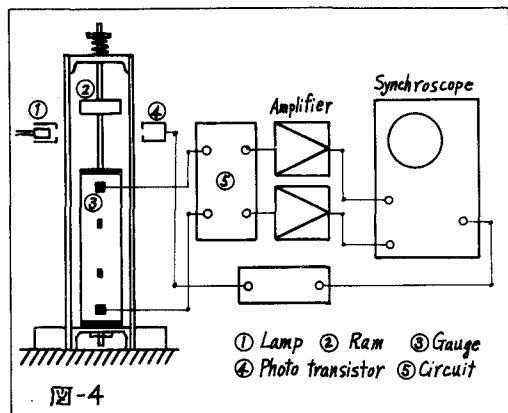


図-4

(2) 解析方法

本実験で使用したシンクロスコープは 2 現象しか取らえることができないので、2 測定以上の観測には次の様な方法である。まず、図-1 におけるゲージを上から順番に ④, ⑥, ⑦, ⑧ 測定と名付ける。最初に、④, ⑥ 測定を同時に、何回か観測、写真撮影し、次に ⑦, ⑧ 測定を同様に写真撮影し、④, ⑥ 測定も同様にする。次に写真撮影結果から圧縮又は引張りの歪波形の高さの最大値が

読みとられ、各々の値が表-4 の様に整理される。④, ⑥, ⑦, ⑧ 測定の最終の読みの値は表中の計算で求められる。そこで、予め模型パイアルに静的荷重をかけ、シンクロスコープ管面上の歪波形の高さを読みとり、荷重係数 (kg/mm) を求めておくと、模型パイアルに働く衝撃荷重は表-4 に示される最終値に、その荷重係数を乗じることにより求められることになる。

4. 実験結果

実験は表-5 に示す 2 通りについて行った。写真撮影結果によるデータ（前記表-4 に説明）を各々について表-6, 表-7, 表-8, 表-9 に示す。写真撮影結果は紙面の都合により、ここでは 1 例のみを写真-1 に示し、残りは講演の際に示す。

表-4

	(a)	(b)	(c)	(d)
測定 (a), (b)	$\frac{a_1 + a_2 + a_3}{3}$	$\frac{a_1 + a_2 + a_3}{3}$		
平均	a_1	b_1		
測定 (a), (c)	$\frac{a_1 + a_2 + a_3}{3}$		c_1	
平均	a_2			
測定 (a), (d)	$\frac{a_1 + a_2 + a_3}{3}$			d_1
平均	a_3			
最終値 (単位: mm)	$A_1 = \frac{a_1 + a_2 + a_3}{3}$	$B_1 = \frac{a_1}{A_1}$ $(a_1 > A_1)$	$C_1 = \frac{a_2}{A_1}$ $(a_2 > A_1)$	$D_1 = \frac{a_3}{A_1}$ $(a_3 < A_1)$

表-5 実験の種類

ゴムフレート	ゴムホース	ラム速度	ケース
$2.58 \times 10^3 \text{ kg}/\text{cm}$	$66.0 \text{ kg}/\text{cm}$	$V_1 = 171.4 \text{ cm}/\text{s}$	ケース I

$V_1 = 242.5 \text{ cm}/\text{s}$ ケース II

表-6 ケースI (圧縮)

	(a)	(b)	(c)	(d)
測定 (a), (b)	20.0, 20.0	13.8, 13.3		
	18.3, 19.4	14.4, 12.1		
	18.9	11.1		
平均	19.3	12.9		
測定 (a), (c), (c)	20.0, 18.5	6.6, 6.1		
	18.9, 20.0	7.8, 7.2		
	18.3, 19.4	8.9, 9.4		
平均	19.2	7.7		
測定 (a), (d)	19.4, 19.4		5.0, 5.6	
	18.3, 20.6		5.6, 4.4	
	18.9, 18.2		4.4, 5.0	
平均	19.1		5.0	
最終値 (単位:mm)	19.2	12.8	7.7	5.0

表-7 ケースI (引張)

	(a)	(b)	(c)	(d)
測定 (a), (b)	-3.9, -4.4	-4.4, -4.4		
	-3.9, -4.4	-6.7, -5.6		
	-4.4	-7.2		
平均	-4.2	-5.7		
測定 (a), (c)	-4.4, -3.9		-6.7, -7.8	
	-3.9, -3.9		-7.2, -8.3	
	-4.4, -3.9		-6.1, -7.2	
平均	-4.1		-7.2	
測定 (a), (d)	-4.4, -3.9			-5.0, -4.4
	-3.9, -4.4			-5.0, -4.4
	-3.9, -4.4			-4.4, -3.9
平均	-4.2			-4.5
最終値 (単位:mm)	-4.2	-5.7	-7.4	-4.5

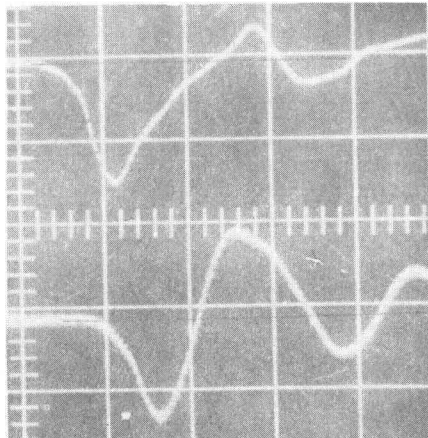


写真-1

5. 理論解析

$$E.A.L.SMITH \text{ によると, } D_m = 2d_m - d_m^* + \frac{g \cdot \Delta t^2}{W_m} \cdot [(d_{m+1} - d_m)K_{m+1} - (d_m - d_{m+1})K_m - R_m] \quad \text{---①}$$

一方、外部抵抗 R を考えた場合の波動方程式は、 $\frac{\partial^2 D}{\partial t^2} = \frac{g}{W_m} \cdot \frac{\partial^2 D}{\partial x^2} - \frac{g}{W_m} \cdot R$

そこで、 $\frac{\partial^2 D}{\partial t^2} = (D_m - 2d_m + d_m^*)/\Delta t^2$, $\frac{\partial^2 D}{\partial x^2} = (d_{m+1} - 2d_m + d_{m-1})/\Delta x^2$ なる関係を用いて、上式を差分方程式に仕立てる。

$$D_m = 2d_m - d_m^* + \frac{g \cdot \Delta t^2}{W_m} \cdot [(d_{m+1} - d_m)K_{m+1} - (d_m - d_{m+1})K_m - R_m]$$

となり、①式と一致する。すなわち、SMITHによる式と波動方程式とは同じものを表わしている。なお、符号の説明を表-10に示し、SMITHにより誘導された①式の理解を助けるために図-4を掲げる。

本実験の理論解析は SMITH の各式を利用して、電子計算機により行なった。

表-8 ケースII (圧縮)

	(a)	(b)	(c)	(d)
測定 (a), (b)	27.2, 28.3	21.1, 20.0		
	24.4, 28.3	19.9, 20.0		
	28.3, 28.9	21.7, 17.8		
平均	28.9	19.4		
	28.5	19.8		
測定 (a), (c)	28.3, 28.9	19.3, 12.8		
	28.3, 28.3	15.0, 15.0		
	28.3, 30.0	15.5, 16.1		
平均	28.7	14.6		
測定 (a), (d)	29.4, 28.3			9.8, 9.3
	29.4, 28.9			9.4, 10.6
	28.3, 28.3			10.0, 11.0
平均	28.8			9.9
最終値 (単位:mm)	28.7	19.9	14.6	9.9

表-9 ケースII (引張)

	(a)	(b)	(c)	(d)
測定 (a), (b)	-7.8, -7.8	-11.1, -8.9		
	-8.9, -7.8	-7.2, -10.6		
	-7.2, -7.2	-10.0, -6.7		
平均	-8.3	-10.6		
	-7.9	-9.5		
測定 (a), (c)	-7.8, -8.3	-13.3, -13.8		
	-7.2, -8.3	-13.3, -12.2		
	-8.3, -7.8	-12.8, -13.6		
平均	-8.0	-13.2		
測定 (a), (d)	-7.8, -6.7			-7.8, -8.3
	-7.2, -7.8			-9.4, -7.2
	-7.8, -7.8			-7.8, -7.8
平均	-7.5			-8.1
最終値 (単位:mm)	-7.8	-9.2	-12.9	-8.4

表-10 符号の説明

$C = \text{time } n \text{ におけるバネの ちぢみ量}$	$F = \text{time } n \text{ におけるバネにかかる力}$
$c = \text{time } (n+1) \text{ におけるバネの ちぢみ量}$	$f = \text{重力加速度}$
$D = \text{time } n \text{ における変位量}$	$K = \text{バネ定数}$
$d = \text{time } (n-1) \text{ における変位量}$	$K' = \text{地盤のバネ定数}$
$d^* = \text{time } (n-2) \text{ における変位量}$	$R = \text{time } n \text{ における抵抗}$
$E = \text{バネの弾性係数}$	$V, v = \text{time } n, (n-1) \text{ における速度}$

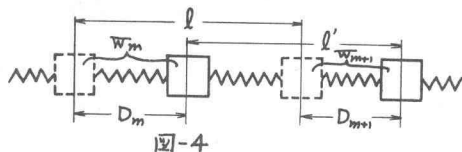
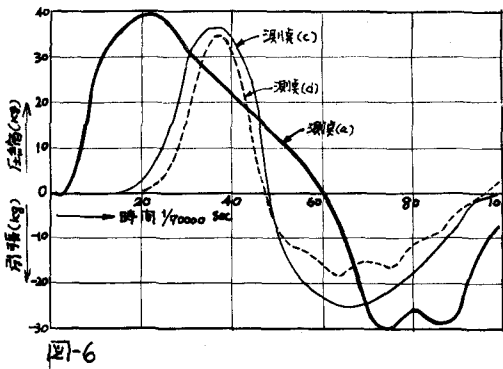


図-4



6. 実験結果と理論解析結果の比較および考察

模型パイアル長さ方向に対する最大圧縮カスは最大引張力図を図5に示す。また、理論解析による歪波形を図6に示す。

図5において、圧縮側ではブロックが上部(d)測定側)

であればある程、実験と理論はかなり良く合っている。しかしながら、ブロックが(d)測定側であればある程、両者は一致しなくなり、ラムの衝突エネルギー大である程、その差は著しいようである。また、引張り側に関してはいずれのケースも理論値の方が絶対値は大きくでている。この原因としては、理論解析において模型パイアル自身の内部減衰を考慮に入れていないことや、外部減衰を静的にしかとらえているにあろうと考えられる。

圧縮側、引張り側において理論よりも実験の方がダンピングの傾向が大きくでているようである。この原因としては、サイドフリクションのバネ定数が静的に求められていて、見掛けの反力が運動の速度に比例して大きくなってきたもの思われる。

ラムの衝突エネルギーが大きければ、圧縮力も引張力を実験、理論共に大きくでている。

図6において、各歪波形は時間に対してずれて起り、減衰も見受けられ、走勢的には良く説明し得るものと見える。また、写真の結果と比較してみるとかなりの一一致が見られるようである。

7. あわりに

模型パイアルに生じる引張りの歪波形を実験では観測し得たが、引張力を定量的に説明し得るには、まだまだ不十分の結果となってしまった。今後、更に色々な条件のもとで衝撃時応力を調べるために室内実験および現場実験を計画中である。

なお、九州工業大学施々木昭士助より電気計測に関する御助言を頂いたことを付記して謝意を表す。

参考文献

- ① E.A.L.SMITH: 'Pile driving analysis by the wave equation' Transaction of A.S.C.E. 1962
- ② 土木学会編：土木工学ハンドブック
- ③ 土木学会編：土木技術者のための振動便覧
- ④ 渡辺清承、松本：波動方程式によるくいの打撃時応力解析。コンクリートシーナル Vol. 6, No. 10 昭和43年1月。

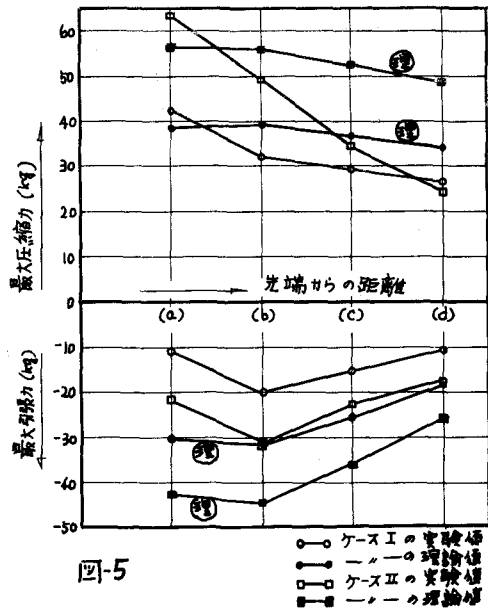


図-5